

**Calcul de vérification au flambage (compression pure)**

Bilan des données: Cas de figure **B**

$l = 2100$  mm (cf "Flexion")  
 $F = 0$  N (cf "Flexion")  
 $E = 210000$  N/mm<sup>2</sup>  
 $Re = 235$  Rec = 298  
 $s = 1.5$  2 3 (sc=2's et 3min)  
 Rpc (ici=Rec/s) = 99 3 (sc=2's et 3min)  
 (Section en cours : Rectangle 60ep2 x 60ep2)  
 Section S = 452,0 mm<sup>2</sup>  
 $I_0 = 249874$  mm<sup>4</sup>

Élancement, avec  
 $\sqrt{\frac{I_{Gx}}{S}}$  Longueur de flambement L = 4200  
 et p rayon de giration = 23,51  
 $\lambda = \frac{L}{\rho} = 178,63$  (Euler seulement si >210)  
 et élancement critique  $\lambda_c = 115,02$

Poutres courtes $\lambda < 20$	Poutres moyennes $20 < \lambda < 100$	Poutres élancées $\lambda > 100$
Formule simple: $F_{adm} = R_{pe} \cdot S$	Formule expérimentale de Rankine: $F_{adm} = \frac{R_{pe} \cdot S}{1 + \left(\frac{\lambda}{\lambda_c}\right)^2}$	Formule d'Euler: $F_{adm} = \frac{R_{pe} \cdot S}{\lambda^2 \left(\frac{A}{A_{cr}}\right)^2}$

**F (=0) < Fadm = 9307 ? Condition vérifiée (0%)**

(Mais)

CM66 ( $\lambda < 210$ ): vérifier  $k \cdot \sigma < R_{pe}$ , avec  $k = 0,5 + 0,65 \frac{\sigma_c}{\sigma_k}$   
 , avec  $ok = F_c / S$  et  $F_c$  (charge critique d'Euler) =  $\frac{\pi^2 \cdot E \cdot I_{Gx}}{L^2} = 29359$  N  
 , et  $ok$  (N/mm<sup>2</sup>) = 65  
 $\Rightarrow k = 4,9761$

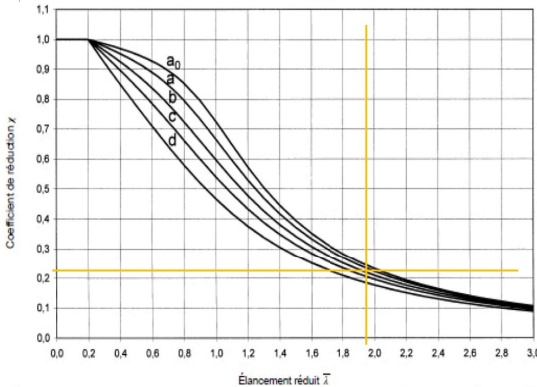
**k \* σ(=0) = 0 < Rpe (=157) ? Condition vérifiée (0%)**

Ou

Selon EC3: si  $20 < \lambda < 210$  VRAI, alors élancement réduit (Euler seul sinon):  
 $\bar{\lambda} = \frac{\lambda}{\pi} \sqrt{\frac{A}{I} \times \frac{F_c}{E}} = 1,9021$  (> 0,2, X=1 sinon)

avec 'X', le coefficient de réduction selon graph ci-dessous: **0,25**  
 $N \leq \chi \times \beta_A \times A \times \frac{f_y}{\gamma_{M1}}$

**F (=0) < N = 24140 ? Condition vérifiée (0%)**



Sections en I laminées	h/b > 1,2	h/b ≤ 1,2	Sections en I et pelées	Sections en L
	$t_f \leq 40$ mm	$t_f \leq 100$ mm		
	$40 < t_f \leq 100$ mm	$t_f > 100$ mm		
Sections en I soudées	$t_f \leq 40$ mm			
	$t_f > 40$ mm			
Sections creuses	Finies à chaud			
	Formées à froid			

(tableau valable pour les matériaux S235, S275, S355 et S420, issu du tableau 6.2 de l'Eurocode NF EN 1993-1-1 de octobre 2005)

Cas de figure	Valeurs de L
<b>Cas A</b>	
En A et B Liaisons pivots	 L = 2100 mm l'élancement $\lambda = \frac{L}{\rho} = 89,31$ Fadm = 28 009 N
<b>Cas B</b>	
En A Liaison Encastrement En B Extrémité libre	 L = 4200 mm donc l'élancement $\lambda = \frac{L}{\rho} = 178,63$ Fadm = 9 307 N
<b>Cas C</b>	
En A et B Liaison Encastrement	 L = 1050 mm donc l'élancement $\lambda = \frac{L}{\rho} = 44,86$ Fadm = 39 016 N
<b>Cas D</b>	
En A Liaison Encastrement En B Liaison pivot	 L = 1470 mm donc l'élancement $\lambda = \frac{L}{\rho} = 62,52$ Fadm = 34 657 N

Courtes: Fadm = 44 897  
 Moyennes: Fadm = 28 009  
 Longues: Fadm = 37 230

Courtes: Fadm = 44 897  
 Moyennes: Fadm = 13 159  
 Longues: Fadm = 9 307

Courtes: Fadm = 44 897  
 Moyennes: Fadm = 39 016  
 Longues: Fadm = 148 920

Courtes: Fadm = 44 897  
 Moyennes: Fadm = 34 657  
 Longues: Fadm = 75 979

L'inéquation à vérifier s'écrit:  $N \leq \chi \times \beta_A \times A \times \frac{f_y}{\gamma_{M1}}$  selon §6.3.1.1 (6.47) et (6.48) NF EN 1993-1-1 de octobre 2005

N	effort normal de compression	-
χ	coefficient de réduction	donné par abaque en fonction de la courbe de flambement et de l'élancement réduit $\bar{\lambda}$
β <sub>A</sub>	coefficient des sections transversales	β <sub>A</sub> = 1 pour les sections de classes 1 à 3 β <sub>A</sub> = A <sub>eff</sub> /A pour les sections de classe 4 (A <sub>eff</sub> = aire efficace)
A	section brute (section calculée avec les dimensions nominales sans déduction des trous éventuels)	cf caractéristiques de la section étudiée
f <sub>y</sub>	limite élastique	suivant matériau étudié
γ <sub>M1</sub>	facteur partiel de sécurité en instabilité élastique	γ <sub>M1</sub> = 1 selon §6.1 note 2B